

УДК 548.73:547.466

**КРИСТАЛЛИЧЕСКАЯ И МОЛЕКУЛЯРНАЯ СТРУКТУРА "АСИММЕТРИЧНОЙ"
ЭТИЛЕНДИАМИН-N,N-ДИ-3-ПРОПИОНОВОЙ КИСЛОТЫ МОНОГИДРАТА**

О.Н. Подмарева¹, З.А. Старикова², Н.В. Циурльникова¹

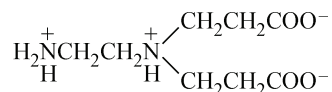
¹ФГУП "ИРЕА", Москва

E-mail: irea@bk.ru

²Институт элементоорганических соединений им. А.Н. Несмеянова РАН, Москва

Статья поступила 6 марта 2013 г.

Оригинальным темплатным методом получен комплексон — "асимметричная" этилендиамин-N,N-ди-3-пропионовая кислота (ас.ЭДДП), кристаллическая структура которой определена методом РСА. Кристаллы $C_8H_{16}N_2O_4 \cdot H_2O$ моноклинные, пр. гр. $P2_1/c$, $a = 12,7416(4)$, $b = 6,5470(2)$, $c = 12,1908(4) \text{ \AA}$, $\beta = 93,100(1)^\circ$, $Z = 4$, $\rho_{\text{выч}} = 1,454 \text{ мг/м}^3$, $R_1(I > 2,0\sigma(I)) = 0,0326$. В твердом виде молекула ас.ЭДДП имеет структуру двойного бетаина:



В образовании внутримолекулярных водородных связей с бетаиновым протоном третичного атома азота участвует один атом кислорода карбоксильной группы каждого 3-пропионового фрагмента, формируя два объединенных посредством связи N(1)–H(1N) шестичленных H-цикла. Межмолекулярные водородные связи образуются между тремя атомами водорода протонированного первичного атома азота и атомами кислорода 3-пропионовых фрагментов трех других молекул ас.ЭДДП. Молекула воды принимает участие в образовании межмолекулярных водородных связей с атомом кислорода одной карбоксильной группы молекулы.

Ключевые слова: N,N-этилен-бис-β-аланин, этилендиамин-N,N-ди-3-пропионовая кислота, ЭДДП, комплексон, асимметричная структура, рентгеноструктурный анализ.

ВВЕДЕНИЕ

Интерес к синтезу, исследованию строения и свойств комплексонов — производных этилендиамина, содержащих вместо традиционных ацетатных пропионовые группы, обусловлен уникальными комплексообразующими свойствами, проявляющимися в селективности по отношению к ионам меди(II). Так, симметричная этилендиамин-N,N'-ди-3-пропионовая кислота (сим.ЭДДП) образует с Cu(II) прочный комплекс, константа устойчивости которого ($\lg k_{\text{Cu(II)}} = 15,1$) превышает константы устойчивости аналогичных комплексов с другими двухвалентными переходными металлами более чем на шесть порядков ($\lg k_{\text{Ni(II)}} = 9,3$, $\lg k_{\text{Zn(II)}} = 7,6$) [1]. Это объясняется тем, что пропионовая группа формирует с Cu шестичленный хелатный цикл, более выгодно располагающийся в пространстве и создающий меньшее напряжение во всей структуре имеющего плоскостную конфигурацию комплекса по сравнению с аналогичными комплексами для других катионов [2].

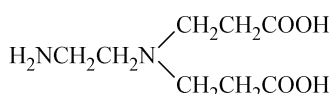


Рис. 1. Этилендиамин-N,N-ди-3-пропионовая кислота (ас.ЭДДП)

Селективность подобных лигандов, содержащих пропионовые группы, может успешно использоваться для решения проблем, связанных с необходимостью выведения Cu(II) из сложных композиционных систем. Так, ионы Cu(II) отделяют от ионов других металлов в особенности от Ni(II) с помощью специально созданных для этих целей хелоновых смол с аминопропионовыми функциональными группами [3].

Особое внимание заслуживают медьюселективные комплексоны в биологии и медицине в связи с возможностью выведения Cu(II) из организма пациентов при некоторых нейродегенеративных заболеваниях, развитие которых связывают с избыточным накоплением меди [4].

Благодаря уникальной комплексообразующей способности алкилендиаминполипропионовые кислоты находят применение в аналитической химии для разделения Cu(II) и других металлов или селективного определения ее содержания, в частности, в природной воде [5].

В настоящее время в ряду производных этилендиамина, содержащих пропионовые группы, получены и охарактеризованы методом РСА этилендиамин-N,N'-ди-3-пропионовая и этилендиамин-N,N,N',N'-тетра-3-пропионовая кислоты в виде их дигидрогалогенидов [6], а также этилендиамин-N,N'-ди-2-пропионовая кислота в виде моногидрохлорида [7].

В лаборатории технологии комплексонов и комплексных соединений ФГУП "ИРЕА" (г. Москва) синтезировано впервые предложенным темплатным методом производное этилендиамина, содержащее пропионовые группы, — так называемую "асимметричную" структуру молекулы, в которой замещение двумя 3-пропионовыми группами происходит только по одному из атомов азота диамина (рис. 1).

Целью данной работы является определение кристаллической и молекулярной структуры "асимметричной" этилендиамин-N,N-ди-3-пропионовой кислоты. Получение сведений о строении комплексона представляет интерес в связи с его предполагаемой биологической активностью, которая связана со сходством структуры ас.ЭДДП и аминокислотных нейромедиаторов типа γ -аминомасляной кислоты и глутаминовой кислоты [8].

Полученный лиганд заслуживает специального внимания в связи с присущими ему специфическими комплексообразующими свойствами. Наряду с этим благодаря наличию в структуре молекулы лиганда реакционноспособной первичной аминогруппы ас.ЭДДП может рассматриваться в качестве синтона для синтеза серии полифункциональных лигандов с заранее заданными свойствами, содержащих различные по природе зоны координации.

ЭКСПЕРИМЕНТАЛЬНАЯ ЧАСТЬ

Для получения ас.ЭДДП использовали предварительно перекристаллизованный из воды хлорид (этилендиамин-N,N-ди-3-пропионато)цинк(II) ($\text{Zn}(\text{ас.ЭДДП})\text{Cl}_2$), аммиак водный по ГОСТ 3760-79 квалификации ЧДА, воду дистиллированную по ГОСТ 6709-72, смолу ионообменную КУ-2-8 по ГОСТ 20298-74 марки "высший сорт".

$\text{Zn}(\text{ас.ЭДДП})\text{Cl}_2$ синтезирован по оригинальной методике, разработанной в лаборатории технологии комплексонов и комплексных соединений ФГУП "ИРЕА" (г. Москва).

Синтез ас.ЭДДП (I). ас.ЭДДП получают путем пропускания водного раствора ее Zn(II) комплекса через колонку, заполненную катионитом в H-форме, собранные элюаты упаривают в вакууме. Получают желтое масло, которое выдерживают при комнатной температуре до перехода вещества в кристаллическое состояние, после чего агрегации желтых кристаллов ас.ЭДДП отделяют и сушат. Выход ас.ЭДДП составляет 78,6 % (считая на Zn(II) комплекс).

Масс-спектр, m/z : 204,9 [M]⁺. Найдено, %: C 43,53, H 8,03, N 12,63. Для $\text{C}_8\text{H}_{18}\text{N}_2\text{O}_5$ вычислено, %: C 43,23, H 8,16, N 12,61, O 36,00.

ИК спектр (KBr, ν , cm^{-1}): 3369, 3265, 2846, 2722, 1594 с, 1571 с, 1544 с, 1490 ср, 1498 сл, 1431 ср, 1412 с, 1378 с, 1325 с, 1162 с, 1107 сл, 1059 сл, 1027 сл, 995 сл, 975 сл, 875 с, 850 ср, 808 сл, 791 сл, 705 ср, 676 ср. Спектр ЯМР ^{13}C (D_2O), δ , м.д.: 30,32 (1C, CH_2 -en), 34,55 (1C, CH_2 -en), 48,99 (2C, CH_2 -Pr), 51,14 (2C, CH_2 -Pr), 177,85 (2C, COO H-Pr).

Элементный анализ проводили на CHNS-анализаторе Eurovector "EuroEA 3000".

ИК спектры поглощения регистрировали на ИК Фурье-спектрометре VERTEX 70 в диапазоне волновых чисел от 600 до 3800 см^{-1} с разрешением 4 см^{-1} для образцов в виде таблеток с матрицей KBr.

Спектры ЯМР ^{13}C исследуемого соединения записаны в D_2O при температуре 25 °C на ЯМР спектрометре Bruker AVANCE III NanoBay с рабочей частотой 75,50 МГц.

Масс-спектры получены на масс-спектрометре Ultraflex TOF/TOF (Bruker Daltonics, Germany).

PCA. Кристаллы ас.ЭДДП· H_2O (**Ia**) получены при кристаллизации **I** при комнатной температуре.

Для светло-желтых пластинчатых кристаллов $\text{C}_8\text{H}_{16}\text{N}_2\text{O}_4 \cdot \text{H}_2\text{O}$ (**Ia**) экспериментальный набор отражений получен на дифрактометре Bruker APEX II CCD при 100 K (λMoK_α -излучение) с монокристалла размером 0,45×0,40×0,23 мм. Поглощение ($\mu = 0,107 \text{ мм}^{-1}$) не учитывалось, коэффициенты трансмиссии T_{\max} и T_{\min} , определенные с помощью программы SADABS [9], равны 0,954 и 0,976 соответственно. Структура решена прямым методом, все неводородные атомы локализованы в разностных синтезах электронной плотности и уточнены по F_{hkl}^2 в анизотропном приближении; атомы водорода (кроме атомов водорода H(N) и H(Ow)) помещены в геометрически рассчитанные позиции, атомы H(N) и H(Ow) локализованы в разностном синтезе электронной плотности. Все атомы водорода учтены в изотропном приближении в модели "наездника" с $U(\text{H}) = 1,2U(\text{C})$, где $U(\text{C})$ — эквивалентный температурный фактор атома, с которым связан соответствующий атом H.

Расчеты проведены по комплексу программ SHELXTL [10].

Кристаллы $\text{C}_8\text{H}_{16}\text{N}_2\text{O}_4 \cdot \text{H}_2\text{O}$ моноклинные, $M = 222,24 \text{ г/моль}$, пр. гр. $P2_1/c$, $a = 12,7416(4)$, $b = 6,5470(2)$, $c = 12,1908(4) \text{ \AA}$, $\beta = 93,100(1)^\circ$, $V = 1015,46(6) \text{ \AA}^3$, $Z = 4$, $\rho_{\text{выч}} = 1,454 \text{ мг/м}^3$, $\mu = 0,107 \text{ мм}^{-1}$, $R_{\text{int}} = 0,0181$, $F(000) = 440$, GOOF = 1,013, $R_1 (I > 2,0\sigma(I)) = 0,0326$, $wR_2 (I > 2,0\sigma(I)) = 0,0833$, R_1 (все данные) = 0,0366, wR_2 (все данные) = 0,0867, $2\theta 58^\circ$, общее число измеренных отражений 11618.

Избранные межатомные расстояния и валентные углы приведены в табл. 1. Координаты атомов, длины связей и валентные углы, температурные параметры депонированы в Кембриджском банке структурных данных (CCDC № 902332) и могут быть получены бесплатно через www.ccdc.cam.ac.uk/conts/retrieving.html (или от CCDC, 12 Union Road, Cambridge CB2 1EZ; fax: +44 1223 335 033; или deposit@ccdc.cam.ac.uk).

Таблица 1

Основные длины связей d , \AA и валентные углы, град. в молекуле **Ia**

Связь	d	Связь	d	Угол	ω
C(1)—C(2)	1,5270(13)	N(1)—C(3)	1,5074(12)	O(1)—C(1)—O(2)	125,50(9)
C(2)—C(3)	1,5217(13)	N(1)—C(4)	1,5092(11)	O(3)—C(6)—O(4)	125,16(9)
C(4)—C(5)	1,5189(13)	N(1)—C(7)	1,4978(12)	O(1)—C(1)—C(2)	116,95(8)
C(5)—C(6)	1,5304(13)	N(2)—C(8)	1,4891(12)	O(2)—C(1)—C(2)	117,54(8)
C(7)—C(8)	1,5259(13)	N(1)—H(1)	0,90	O(3)—C(6)—C(5)	117,85(8)
O(1)—C(1)	1,2570(12)	N(2)—H(2)	0,92	O(4)—C(6)—C(5)	116,98(8)
O(2)—C(1)	1,2542(12)	N(2)—H(3)	0,93		
O(3)—C(6)	1,2630(11)	N(2)—H(4)	0,94		
O(4)—C(6)	1,2575(12)				

Примечание. Углы C—C—C находятся в интервале от 114,08(8) до 114,17(8)°, углы N—C—H — от 108,9 до 109,8°, C—N—H — от 106,5 до 111,0°, N—C—C — от 109,21 до 113,56°, C—N(1)—C — от 110,54 до 111,28°.

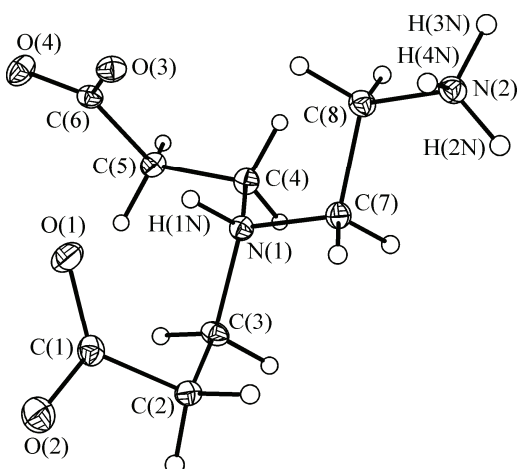


Рис. 2. Строение молекулы I в структуре Ia, тепловые эллипсоиды атомов представлены с вероятностью 50 %

РЕЗУЛЬТАТЫ И ИХ ОБСУЖДЕНИЕ

В настоящей работе впервые описана молекулярная структура этилендиамин-N,N-ди-3-пропионовой кислоты (ас.ЭДДП) (I) в кристалле I·H₂O (Ia).

Молекулярная структура I определена по результатам комплекса физико-химических методов исследования: масс-спектрометрии, CHN-анализа, ¹³C ЯМР и ИК спектроскопии. В масс-спектре исследуемого соединения наблюдается пик, принадлежащий молекулярному иону 204,9, что действительно

соответствует молекулярной массе этилендиаминдипропионовой кислоты. Присутствие в ¹³C ЯМР спектре исследуемого соединения пяти сигналов от пяти неэквивалентных атомов углерода указывает на асимметричный характер структуры молекулы кислоты (ас.ЭДДП). В случае симметричной структуры, характерной для ранее описанной сим.ЭДДП, в ¹³C ЯМР спектре наблюдалось бы четыре сигнала.

Неоспоримым доказательством получения этилендиамин-N,N-ди-3-пропионовой кислоты с асимметричной структурой молекулы стали данные РСА, позволившие однозначно определить состояние молекулы ас.ЭДДП в кристалле. Показано существование в твердом виде молекулы ас.ЭДДП в форме двойного бетаина за счет протонов депротонированных карбоксильных групп (рис. 2). Эти данные хорошо коррелируют с результатами ИК спектроскопии. В ИК спектре ас.ЭДДП присутствуют полосы поглощения, соответствующие ионизированной карбоксильной группе и протонированной аминогруппе.

Длины связей C—O в каждом β-пропионовом фрагменте (см. табл. 1) выравнены, их величины изменяются в интервале 1,254(1)—1,263(1) Å. Атомы азота находятся в тетраэдрическом окружении. Закономерным является удлинение связей C—N (по сравнению с суммой ковалентных радиусов $(0,76 + 0,71 = 1,47)$ Å) на 0,03—0,04 Å, что, как описано ранее в работе [11], характерно для протонированного атома азота.

Длины аналогичных связей C(2)—C(3) и C(4)—C(5) в 3-пропионовых группах несколько укорочены (на 0,02 Å) по сравнению с соответствующей связью C(sp³)—C(sp³) в 3-пропионовой кислоте (1,54 Å [12]). Такое же укорочение связи наблюдается и в других алкилендиаминполи-пропионовых кислотах, например, в нитрилтринпропионовой кислоте (НТП) [11]. Кроме того, попарно практически равны величины всех валентных углов (ω) O—C—O и C—C—C в 3-пропионовых фрагментах (см. табл. 1).

Упаковка молекул ас.ЭДДП в кристаллической решетке представлена на рис. 3, a (проекция структуры на плоскость x0z). Слои молекул, образованные водородными связями N—H...O и перпендикулярные плоскости 0yz, объединяются в структуру водородными связями с молекулами воды Ow—H...O.

Наличие в структуре I нескольких O и N содержащих функциональных групп благоприятствует возникновению системы внутри- и межмолекулярных водородных связей. Водородные связи в кристалле Ia представлены на рис. 3, б, их геометрия — в табл. 2.

Внутримолекулярные водородные связи образуются с участием одного из атомов кислорода (O(1) и O(3) соответственно) каждой карбоксильной группы и атома H(1N) бетанинового атома азота N(1) этилендиаминного фрагмента (см. табл. 2).

Наличие двух внутримолекулярных водородных связей приводит к образованию шестичленных H-циклов N(1)—H(1N)…O(1)—C(1)—C(2)—C(3) и N(1)—H(1N)…O(3)—C(6)—C(5)—C(4), объединенных посредством связи N(1)—H(1N). По-видимому, подобные H-циклы характерны для комплексонов, содержащих в их структуре N,N-дикарбоновый фрагмент,

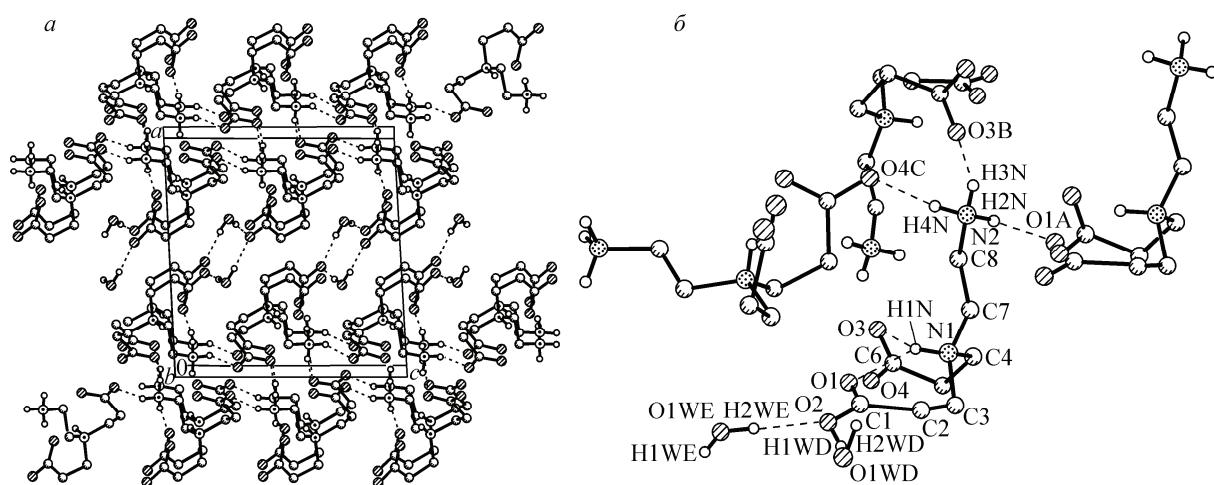


Рис. 3. Упаковка молекул в кристалле Ia.

Проекция структуры на плоскость $x0z$ (а) и фрагмент упаковки (б). Водородные связи показаны пунктирующими линиями, атомы водорода CH_2 -групп опущены

и описаны впервые для НТП (угол между средними плоскостями составляет $71,4^\circ$ [11]). В Ia оба цикла неплоские, их конформация может быть описана как *ванна* с перегибом циклов по линиям $\text{O}(1)\cdots\text{C}(3)$ и $\text{O}(3)\cdots\text{C}(4)$ (угол перегиба равен $41,0$ и $53,0^\circ$ соответственно, угол между средними плоскостями циклов $55,9^\circ$).

Протоны первичного атома азота N(2) не принимают участия в образовании внутримолекулярных водородных связей, подобное "пассивное" поведение может быть объяснено вовлеченностью в формирование межмолекулярных водородных связей. В межмолекулярных связях задействованы все три атома водорода протонированного атома N(2) и атомы O(1), O(3), O(4) 3-пропионовых групп трех других молекул I соответственно (см. табл. 2). Для двух водородных связей наблюдается схожая геометрия. Длины межмолекулярных связей $\text{H}(2\text{N})\cdots\text{O}$ мало различаются между собой и значительно меньше длин внутримолекулярных водородных связей $\text{H}(1\text{N})\cdots\text{O}$. Межмолекулярные водородные связи способствуют упаковке молекул I в слои (см. рис. 3, б).

В структуру Ia входит молекула воды, которая принимает участие в образовании межмолекулярных водородных связей только с атомом O(2) одной из карбоксильных групп молекулы I.

Таблица 2

Геометрия водородных связей в кристаллической структуре Ia

D—H...A	$d(\text{D—H})$, Å	$d(\text{H}\dots\text{A})$, Å	$d(\text{D}\dots\text{A})$, Å	$\angle(\text{DHA})$, град.
Внутримолекулярные водородные связи				
N(1)—H(1N)...O(1)#1	0,90	2,05	2,748(1)	133
N(1)—H(1N)...O(3)#1	0,90	2,14	2,803(1)	130
Межмолекулярные водородные связи				
N(2)—H(2N)...O(1)#2	0,92	1,85	2,765(1)	171
N(2)—H(3N)...O(3)#3	0,93	1,87	2,736(1)	155
N(2)—H(4N)...O(4)#4	0,94	1,82	2,716(1)	159
O(1W)—H(1W1)...O(2)#5	0,85	1,95	2,801(1)	175
O(1W)—H(2W1)...O(2)#6	0,84	1,91	2,752(1)	177

Примечание: #1 x, y, z ; #2 $x, y+1, z$; #3 $-x, -y+1, -z+2$; #4 $x, -y+1/2, z+1/2$; #5 $x, y, z-1$; #6 $-x+1, y+1/2, -z+3/2$.

ВЫВОДЫ

Определена кристаллическая и молекулярная структура впервые синтезированной темплатным методом этилендиамин-N,N-ди-3-пропионовой кислоты (ас.ЭДДП). Показано, что молекула имеет асимметричную структуру, при которой замещение двумя 3-пропионовыми группами происходит только по одному из атомов азота этилендиамина.

Работа выполнена при финансовой поддержке Министерства образования и науки Российской Федерации (в рамках Соглашения № 14.U01.21.0791 о предоставлении гранта в форме субсидии).

СПИСОК ЛИТЕРАТУРЫ

1. Courtney R.C., Chaberek S.Jr., Martell A.E. // J. Amer. Chem. Soc. – 1953. – **75**. – P. 4814.
2. Дятлова Н.М., Темкина В.Я., Колпакова И.Д. Комплексоны. – М.: Химия, 1970.
3. Neudachina L.K., Yatluk Y.G., Baranova N.V. // Russ. Chem. Bull. – 2006. – **55**, N 5. – P. 828.
4. Kodama H., Fujisawa C. // Curr. Drug Metab. – 2012. – **13**, N 3. – P. 237.
5. Itabashi H., Shigeta Y., Kawamoto H., Akaiwa H. // Anal. Sciences. – 2000. – **16**, N 11. – P. 1179.
6. Школьникова Л.М., Суяров К.Д., Гаспарян А.В. и др. // Журн. структур. химии. – 1989. – **30**, № 6. – С. 92.
7. Glodjovic V.V., Radic G.P., Stanic S.M. et al. // J. Serb. Chem. Soc. – 2011. – **76**, N 7. – P. 995.
8. Mori M., Gahwiler B.H., Gerber U. // J. Physiology. – 2002. – **539**, N 1. – P. 191.
9. Bruker, Programs APEX II, version 2.0-1; SAINT, version 7.23A; SADABS, version 2004/1; XPREP, version 2005/2; SHELLXTL, version 6.1. Bruker AXS Inc., Madison, WI, USA, 2005.
10. Sheldrick G.M. // Acta Crystallogr. – 2008. – **A64**. – P. 112.
11. Гаспарян А.В., Школьникова Л.М., Цирульникова Н.В. и др. // Журн. структур. химии. – 1985. – **26**, № 3. – С. 153.
12. Strieter F.J., Templeton D.H., Scheuerman R.F., Sass R.L. // Acta Crystallogr. – 1962. – **15**. – P. 1233 – 1239.